

УДК 621.039.51

Применение термонейтронных датчиков для измерения распределений плотности потока тепловых нейтронов

САФИН Ю. А., КАРПЕЧКО С. Г., АФАНАСЬЕВ П. Г., НАЛИВАЕВ В. И., ПАМПУРА В. Б., УВАРОВ В. И.

В настоящее время контролю энерговыделения в активных зонах ядерных реакторов различного назначения уделяется значительное внимание [1]. Точное и надежное измерение полей нейтронов в активных зонах требует постоянного усовершенствования старых и разработки новых экспериментальных методов. Однако проведение внутриреакторных измерений всегда связано с определенными трудностями, обусловленными тяжелыми радиационными и температурными условиями работы детекторов и т. п. В последние годы большое развитие получили приборные методы измерений полей нейтронов, где в качестве первичных датчиков предусматривается использование малогабаритных камер деления, электронно-эмиссионных датчиков нейтронов (ЭДН), датчиков прямой зарядки (ДПЗ), термонейтронных датчиков и др. [2—5].

В настоящей работе исследована возможность применения специально разработанных термонейтронных датчиков для оперативного измерения распределения плотности потока тепловых нейтронов по высоте и радиусу активной зоны исследовательского ядерного реактора ИВВ-2 [6]. Для этой цели был сконструирован и изготовлен измерительный зонд ТНД-А, состоящий из двух малогабаритных термонейтронных датчиков: высокочувствительного (ВЧ) и низкочувствительного (НЧ) [$\sim 3 \cdot 10^{-15}$ и $\sim 3 \times 10^{-16}$ нейтр./ $\text{см}^2 \cdot \text{с}$ соответственно], размещенных в алюминиевом корпусе диаметром 54 мм (диаметр рабочей части зонда 18 мм). В верхней части корпуса есть приспособление для перемещения зонда по высоте активной зоны с шагом 50 мм. Конструкция термонейтронных датчиков аналогична конструкциям, описанным в работах [4, 5]. В качестве линий связи в датчике использован высокотемпературный кабель типа КТМС с двумя алюминиевыми термоэлектродами. Сигнал измеряется потенциометром ПП-63 с записью на потенциометре ЭПП-09 МЗ.

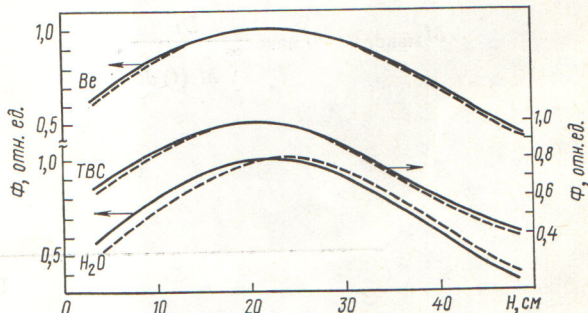
Зонд ТНД-А устанавливали в одну из ячеек активной зоны и фиксировали в нижнем положении, затем проводили измерение. После этого зонд приподнимали на 50 мм, фиксировали в этом положении и вновь измеряли сигнал. Последовательно проводили измерения по высоте данной ячейки, затем зонд перемещали в следующую ячейку. Все измерения были выполнены при мощности реактора 200 кВт, температура воды $35 \pm 5^\circ\text{C}$. Мощность реактора и положение органов регулирования (автоматического регулятора и компенсирующих стержней) во время измерений поддерживались постоянными. Распределение плотности потока тепловых нейтронов было измерено в 24 ячейках активной зоны: 6 водяных «ловушках», 9 тепловыделяющих сборках (ТВС) и 9 бериллиевых блоках. Аналогичные измерения были повторены с помощью активационного метода. Индикатором служила медная проволока диаметром 0,9 мм. Проволоку закрепляли на специальных державках из органического стекла. Облучение проводили при мощности реактора 10 кВт в течение 10 мин. Счетная установка состояла из пластического сцинтиллятора типа БГ, фотоумножителя ФЭУ-19М, усилителя, блока питания и пересчетного прибора ПСТ-100.

Положение органов регулирования реактора во время измерений распределений активационным методом поддерживалось таким же, как и при измерениях распределений зондом ТНД-А. Результаты измерений представлены в таблице и на рисунке.

Показания сигналов ВЧ- и НЧ-датчиков в некоторых характерных ячейках активной зоны, мВ

Расстояние от торца зонда до дна активной зоны, см	ТВС		Водяная ловушка		Бериллиевый блок	
	ВЧ	НЧ	ВЧ	НЧ	ВЧ	НЧ
0	4,79	0,55	8,98	1,10	6,13	0,72
5	5,29	0,62	11,90	1,45	6,85	0,80
10	5,94	0,69	14,0	1,72	7,94	0,95
15	6,42	0,72	15,26	1,90	8,80	1,05
20	6,15	0,72	15,45	1,92	8,85	1,07
25	5,56	0,66	14,10	1,74	8,66	1,05
30	4,98	0,58	12,30	1,48	7,83	0,94
35	4,13	0,50	10,14	1,22	6,69	0,80
40	3,19	0,42	7,85	0,94	5,35	0,66
45	2,68	0,34	5,09	0,65	4,15	0,53
50	2,62	0,34	3,37	0,44	3,52	0,48

Из таблицы видно, что сигнал от ВЧ-датчика почти на порядок превышает сигнал от НЧ-датчика, при этом относительные распределения плотности потока тепловых нейтронов, полученные этими датчиками, во всех ячейках активной зоны совпадают с хорошей точностью, что позволяет сделать вывод о возможности использования НЧ-датчика для контроля плотности потоков тепловых нейтронов $\sim 10^{14}$ нейтр./ $(\text{см}^2 \cdot \text{с})$. Относитель-



Относительное распределение плотности потока тепловых нейтронов, измеренное зондом ТНД-А и по активности медной проволоки (— —) при различном расстоянии H от дна канала

ные распределения активности медной проволоки и показаний зонда ТНД-А с термонейтронными датчиками в бериллиевом блоке и ТВС имеют одинаковый характер и совпадают в пределах погрешностей измерений. В водяной ловушке результаты несколько отличаются. Это отличие можно объяснить разной спектральной чувствительностью медного индикатора и термонейтронного датчика, а также недостаточной центровкой зонда в водяной ловушке (коэффициент неравномерности распределения плотности потока тепловых нейтронов по радиусу водяной ловушки $\sim 1,2$). Аналогичный эффект наблюдался и в работе [7].

Полученные результаты позволяют рекомендовать зонд с термонейтронными датчиками для оперативного внутриреакторного контроля распределения плотности потока тепловых нейтронов в диапазоне от $5 \cdot 10^{10}$ до $\sim 10^{14}$ нейтр./ $(\text{см}^2 \cdot \text{с})$.

Поступило в Редакцию 6.III.78

УДК 621.039.517.5

Двумерное профилирование топливных сборок высокотемпературных газоохлаждаемых реакторов

СЕГАЛЬ М. Д., ХРИПУНОВ В. И.

В настоящее время большое значение для энергетики и получения высокопотенциального тепла начинают приобретать высокотемпературные ядерные реакторы, охлаждаемые газовым теплоносителем (ВТГР) [1]. Такие реакторы характеризуются относительно высокой теплонапряженностью в сочетании с длительным ресурсом и жесткими требованиями к предельной температуре топлива. В связи с этим весьма важным представляется выравнивание температурных полей тзвэлов и рабочего тела, что особенно существенно для реакторов кластерного типа.

В топливных сборках таких реакторов, состоящих из большого числа стержневых тзвэлов, возможно возникновение пространственной неравномерности поля тепловыделения вследствие блок-эффекта, возмущений, вносимых органами регулирования, и т. п. Неравномерность приводит к возникновению локальных перегревов рабочего тела и топлива и, следовательно, к снижению параметров топливной сборки. Перспективным для повышения выходных параметров таких сборок является двумерное профилирование поля энерговыделения концентраций топлива. Естественно, что речь идет только о зонном профилировании, поскольку индивидуальный подбор концентраций топлива для каждого тзвэла является, по-видимому, нетехнологичным (в реакторе фирмы «Галф дженерал атомик» (США) используются сборки, включающие 270 тзвэлов). Методы физического профилирования, рассмотренные в работе [2], нашли дальнейшее развитие и экспериментальное обоснование в работах [3—5]. Была выявлена возможность весьма сильного воздействия изменения концентрации и соотношения объемов топлива и замедлителя на распределение источников энерговыделения в разных системах. Во многих случаях условие сохранения постоянной температуры поверхности или центра тзвэла сводится к выравниванию плотности энерговыделения по объему.

Решение задач об оптимизации этих параметров по реактору в целом базируется на некоторых упрощаю-

СПИСОК ЛИТЕРАТУРЫ

1. Емельянов И. Я. и др. Управление и безопасность ядерных энергетических реакторов. М., Атомиздат, 1975.
2. Дмитриев А. Б., Малышев Е. К. Нейтронные ионизационные камеры для реакторной техники. М., Атомиздат, 1975.
3. Климентов В. Б., Колчинский Г. А., Фрунзе В. В. Активационные измерения потоков нейтронов и спектров нейтронов в ядерных реакторах. М., «Стандарты», 1974.
4. Емельянов И. Я. и др. «Атомная энергия», 1971, т. 30, вып. 3, с. 275.
5. Боланд Дж. Приборы контроля ядерных реакторов. М., Атомиздат, 1973.
6. Зырянов А. П. и др. В кн.: Радиационная безопасность и защита АЭС. Вып. 2. М., Атомиздат, 1976, с. 110.
7. Ломакин С. С. и др. [4], с. 301.

щих предложениях (одномерная геометрия, малогрупповой подход и т. п.). Вместе с тем при профилировании топливной сборки необходимо учитывать процессы перемешивания рабочего тела, а также локальные особенности энергораспределения. Подход, описываемый в данной работе, основан на совместном использовании многомерного нейтронно-физического расчета методом Монте-Карло [6] и теплогидравлического расчета [7], что позволило достаточно эффективно выравнивать температурное поле тзвэлов и газа-теплоносителя. Температурные поля рассчитывались в трехмерной геометрии для гомогенизированной тепловыделяющей среды по программе, приведенной в работе [8], на ЭВМ БЭСМ-6.

Для фиксации пространственного энергораспределения в неоднородной среде в рамках метода Монте-Карло была предложена локальная оценка потока в протяженных (плитвидных) математических детекторах. При каждом соударении нейтрона в объеме системы вклад в энерговыделение пропорционален интегралу

$$q \sim (1/A) \exp(-\sqrt{x^2 + A^2}) / \sqrt{x^2 + A^2} dx, \quad (1)$$

где q — вклад в энерговыделение от рассеяния нейтрона в точке; A — оптическое расстояние детектора до точки рассеяния нейтрона; X — оптическая длина детектора. Некоторые свойства этой оценки (однопараметрическая зависимость от A , обусловленная быстрой сходимостью по верхнему пределу) позволяют в коррелированном расчете для большого числа детекторов снизить погрешность локальной оценки энерговыделения в r , ф-геометрии до 3—5%. Соотношение концентрации топлива в зонах профилирования выбиралось исходя из равенства средних значений энерговыделения в каж-